

## Al<sub>2</sub>O<sub>3</sub>/ZrO<sub>2</sub>-Spinel계 복합체의 미세구조 및 물성제어:

### I. Al<sub>2</sub>O<sub>3</sub>-ZrO<sub>2</sub> 복합분체의 제조 및 소결특성

현상훈 · 송원선

연세대학교 세라믹공학과

(1992년 7월 18일 접수)

### Control of Microstructures and Properties of Composites of the Al<sub>2</sub>O<sub>3</sub>/ZrO<sub>2</sub>-Spinel System: I. Preparation and Sintering Behavior of Al<sub>2</sub>O<sub>3</sub>-ZrO<sub>2</sub> Composite Powders

Sang-Hoon Hyun and Won-Seon Song

Department of Ceramic Engineering, Yonsei University

(Received July 18, 1992)

#### 요 약

Al<sub>2</sub>O<sub>3</sub>/ZrO<sub>2</sub>-Spinel계 복합체의 출발물질로 사용하기 위한 Al<sub>2</sub>O<sub>3</sub>-20 wt% ZrO<sub>2</sub> 복합분체가 에멀젼-가열 석유 증발법에 의하여 제조되었다. 합성 Al<sub>2</sub>O<sub>3</sub>-ZrO<sub>2</sub> 복합분체내의 ZrO<sub>2</sub>는 분쇄 전에는 상온에서 전량 정방정으로 존재한 반면에 분쇄 후에는 m-ZrO<sub>2</sub>가 미량 확인되었다. 복합분체를 1100°C에서 하소-분쇄하여 성형한 후 1650°C에서 4시간 소결하였을 때 99%의 상대밀도를 갖는 소결체의 경도, 파괴인성 및 꺾임강도는 각각 15.7 GPa, 4.97 MN/m<sup>3/2</sup>, 390 MPa이었으며 꺾임강도 측정시의 파괴 메카니즘은 입체파괴였다.

#### ABSTRACT

Al<sub>2</sub>O<sub>3</sub>-20 wt% ZrO<sub>2</sub> composite powders to be used as the starting materials of the Al<sub>2</sub>O<sub>3</sub>/ZrO<sub>2</sub>-Spinel composite system were prepared by the use of the emulsion-hot kerosene drying method. The crystalline phase of ZrO<sub>2</sub> in the synthesized Al<sub>2</sub>O<sub>3</sub>-ZrO<sub>2</sub> composite powders was 100% tetragonal but the small amount of t-ZrO<sub>2</sub> was transformed into m-ZrO<sub>2</sub> after crushing. The hardness, fracture toughness, and flexural strength of the composite, which was sintered at 1650°C for 4 hrs after calcining at 1100°C for 2 hrs and had the relative density of 99%, were 15.7 GPa, 4.97 MN/m<sup>3/2</sup>, and 390 MPa, respectively. The fracture form in the sintered composites was found to be the intergranular fracture.

#### 1. 서 론

알루미나제 세라믹스에 있어서 알루미나 매트릭스에 미세한 지르코니아 입자를 균일하게 분산시킴으로써 그 파괴인성과 꺾임강도를 증가시킬 수 있다는 것은 아주 잘 알려진 사실이다<sup>[1-4]</sup>. 알루미나에 지르코니아를 소결 조제로 소량(1000~2000 ppm) 첨가할 경우에는 격자결함(lattice defect)에 의해서 치밀화 과정을 증진시키는 고용체(solid solution)를 형성하게 되지만 ZTA의 경우는 고용체를 형성하지 않는 두 상이 존재하게 된다고 보고되고 있다<sup>[5]</sup>. 또한 이와같은 복합체에서는 t-ZrO<sub>2</sub>

→m-ZrO<sub>2</sub>로 전이(transformation)가 일어나게 되어 용력유기상전이(stress induced phase transformation), 미세균열에 의한 인성증진(microcracking toughening), 압축표면응력(compressive surface stresses) 및 균열의 편향(crack deflection) 등과 같은 인성증진기구(toughening mechanism)에 의해서 그 물성이 증진되게 되는데<sup>[6,7]</sup> 물성증진효과를 극대화시키기 위해서는 많은 양의 미세한 지르코니아를 균일하게 알루미나 매트릭스에 분산시킬 수 있는 복합공정의 개발이 요구되고 있다. 본 연구에서 이용되는 에멀젼-가열 석유 증발법<sup>[8,9]</sup>은 아주 작은 용액의 액적을 만들 수 있을 뿐만 아니라

급증발시킬 수 있기 때문에 기화과정에서 발생될 수 있는 선택적 결정화를 방지하거나 매우 작은 액적내에 국한 시켜 최소화함으로써 균질한 복합분체의 제조가 가능하며 또한 합성 복합분체에서 지르코니아는 상온에서 전량 정방정으로 존재하기 때문에 물성증진효과를 극대화시킬 수 있을 것으로 예측할 수 있으나 아직까지 공정변수에 따른 소결체의 물성변화에 대한 연구는 이루어지지 않았다.

반면에 알루미나에 MgO를 소량 첨가함으로써 과대 입자성장을 막을 수가 있으며 이론밀도에 가까운 소결체를 얻을 수가 있다고 Coble<sup>10)</sup>이 보고한 이후로 첨가제가 순수한 Al<sub>2</sub>O<sub>3</sub>의 소결에 미치는 역할에 대해서 광범위하게 연구되어 왔다. 한편 매트릭스에 분산된 ZrO<sub>2</sub> 입자의 tetra→mono 전이를 이용하면 세라믹재료의 인성을 향상시킬 수가 있는데 이러한 방법은 부분안정화 지르코니아에서 효과적인 것으로 밝혀졌으며<sup>11)</sup> 그 후에는 Al<sub>2</sub>O<sub>3</sub><sup>3)</sup>와 다른 세라믹 매트릭스에 대해 그 효과가 입증되었다. 부분안정화 지르코니아의 경우에는 안정화제(MgO나 CaO)의 양과 열처리 조건을 적절하게 변화시켜 줌으로써 최적의 기계적 물성을 얻을 수가 있다고 보고되어 왔다<sup>3)</sup>. 또한 MgO가 소결조제로서 Al<sub>2</sub>O<sub>3</sub>-ZrO<sub>2</sub> 복합체에 첨가된다면 치밀화 과정에 대한 MgO와 ZrO<sub>2</sub>의 복합효과가 기대될 수 있을 뿐만 아니라 첨가된 MgO는 매트릭스내의 정방정 지르코니아의 안정성을 증가시킬 수도 있다. 첨가된 MgO의 양이 많을 때는 지르코니아보다도 elastic modulus가 높은 Spinel(MgAl<sub>2</sub>O<sub>4</sub>)이 형성되기 때문에 정방정 지르코니아를 안정화시킬 수가 있어서 알루미나에서처럼 지르코니아를 Spinel에 첨가함으로써 파괴인성과 꺽임강도를 증가시킬 수 있을 것으로 기대된다<sup>4)</sup>.

따라서 “Al<sub>2</sub>O<sub>3</sub>/ZrO<sub>2</sub>-Spinel계 복합체의 미세구조 및 물성제어”에 관한 본 연구에 있어서 Al<sub>2</sub>O<sub>3</sub>-ZrO<sub>2</sub>에 MgO를 소결조제로 소량첨가하는 것부터 시작하여 Spinel이 과량 생성되는 범위까지 MgO를 첨가하였을 때 소결복합체내의 상변화, 정방정 지르코니아의 안정화 정도, 소결체의 미세구조 및 물성변화를 규명하기 위한 최종 목표를 달성하기 위해서는 우선 출발물질인 Al<sub>2</sub>O<sub>3</sub>-ZrO<sub>2</sub> 복합체의 제조 및 물성에 대한 최적화가 이루어져야만 한다.

본 연구에서는 Al<sub>2</sub>O<sub>3</sub>-20 wt% ZrO<sub>2</sub> 복합분체의 합성 조건에 따른 분체의 형상, 상전이, 소결체의 미세구조 및 물성변화 등을 규명하여 Al<sub>2</sub>O<sub>3</sub>/ZrO<sub>2</sub>-Spinel계 복합체 제조를 위한 Al<sub>2</sub>O<sub>3</sub>-ZrO<sub>2</sub> 출발물질의 최적합성조건을 제시하였다.

Table 1. Preparative Conditions of Emulsion.

	Numerical Value
Al <sub>2</sub> (SO <sub>4</sub> ) <sub>3</sub> ·13-14H <sub>2</sub> O : ZrOCl <sub>2</sub> ·8H <sub>2</sub> O (mol%)	82.85 : 17.15
Conc. of Precursors in Common Solution (wt%)	10
Vol. Ratio of Solution/Kerosene	60/40
Vol. Ratio of Span 80/Emulsion	1/100
Stirring Rate (rpm)	6500
Stirring Time (min)	60

## 2. 실험방법

### 2.1. 에멀젼 제조

Al<sub>2</sub>O<sub>3</sub>-20 wt% ZrO<sub>2</sub> 복합분체를 제조하기 위한 알루미나와 지르코니아의 공급원으로서는 시약급 Al<sub>2</sub>(SO<sub>4</sub>)<sub>3</sub>·13~14H<sub>2</sub>O와 ZrOCl<sub>2</sub>·8H<sub>2</sub>O를 사용하였다. 에멀젼은 HLB(hydrophilic-lipophile balance) 값이 4.3인 Span 80을 계면활성제로 사용하여 금속염 수용액을 분산매인 석유상에 분산시킨 Water-in-oil 타입으로 이미 본 연구실에서 보고<sup>9)</sup>된 것과 같은 동일한 방법으로 제조하였으며 그 제조조건은 Table 1과 같다. Al<sub>2</sub>O<sub>3</sub>/ZrO<sub>2</sub>의 중량비(weight percent)를 80/20으로 설정한 이유는 에멀젼-가열 석유증발법<sup>9)</sup>에 의한 연구결과 지르코니아 함량이 20 wt%일 때 상온에서의 정방정 지르코니아 존재량이 최대였으며 또한 가장 높은 파괴인성을 나타내었기 때문이다.

제조된 에멀젼의 점도와 액적크기는 각각 점도계(Model B Type, Tokyo Keiki)와 금속현미경(Type 104, Nikon Co.)을 사용하여 측정·관찰하였다.

### 2.2. 복합분체 제조 및 특성평가

제조된 에멀젼을 이미 보고된 증발장치<sup>9)</sup>내의 165~175°C로 유지된 석유속으로 서서히 적하시켜 에멀젼 액적내의 물을 급증발시킨 다음 석유속에 남아있는 무수금속 복합염을 여과-건조-하소하여 최종복합분체를 얻었다. 에멀젼의 적하속도는 3.5 cc/min로 하였으며 증발 후 플라스크 용기내에 잔존하는 금속염분체는 여과지(whatman filter paper # 42)를 사용하여 수거하였다.

석출금속염의 온도에 따른 상변화와 복합분체 합성을 위한 하소온도를 결정하기 위하여 DTA와 TG(CN 8078 B2, Rigaku) 분석을 하였으며 700°C에서 1200°C 까지 100°C 또는 50°C 간격으로 2시간 열처리한 뒤 분쇄 전·후의 상온에서의 X-ray 분석을 통하여 온도에 따른 결

정상을 분석하였다. SEM과 TEM을 이용하여 하소온도에 따른 복합분체의 형상 및 입자크기를 관찰하였으며 하소온도에 따른 비표면적변화와 입도분포를 각각 BET 장치(Flowsorb 2300, Micromeritics)와 입도분석기(Autosizer IIc, Malvern)로 측정하였다.

### 2.3. 복합체의 소결 및 물성측정

복합체의 소결은 일축가압성형에 의하여 시편을 제조한 뒤 207 MPa로 등방가압성형(cold isostatic pressing)한 후 1650°C에서 4시간 동안(승온속도 6°C/min) 실시하였다. 상온에서 소결체내에 존재하는 정방정 지르코니아와 단사정 지르코니아비는 X-선 회절분석에서 얻은 각 상에 대한 피크강도를 이용하는 Garvie 등의 Polymorph법<sup>12)</sup>에 의하여 구하였다. 소결체의 밀도측정은 Archimedes법에 의하여 측정하였으며 복합체의 소결성은 이론밀도에 대한 상대밀도로 비교하였다. 한편 소결체의 미세구조는 표면을 800, 1200 grit의 SiC 연마지를 사용하여 순서대로 연마한 후 다시 다이아몬드 혼합물로 2차 연마하여 거울면으로 만든 다음 1500°C에서 1시간 동안 열蚀칭(thermal etching)한 후 SEM(H6010A, Hitachi)으로 관찰하였다.

미세구조의 관찰에서와 같은 방법으로 소결시편을 거울면으로 연마한 후에 Vickers Microhardness Tester (MV 6044, Buehler)를 이용하여 10 kg중의 하중으로 20초간 압입한 뒤 Charles-Evans식<sup>13)</sup>을 이용하여 K<sub>IC</sub>값을 구하였으며 꺾임강도용 시편은 표면을 800 grit의 SiC 연마지로 연마한 후, 모서리를 rounding하여 3점 꺾임강도를 측정하였다.

## 3. 결과 및 고찰

### 3.1. 에멀젼 특성

Fig. 1은 제조된 에멀젼 액체에 대한 가상도로서 에멀

전 적하시에는 4~5 mm 정도되는 용액을 165~175°C로 유지된 석유속에 연속적으로 떨어뜨리게 되는데 그 용액내에 있는 실제 에멀젼 액체의 크기는 Fig. 2에 주어진 실제 에멀젼에 대한 금속현미경 사진에서 알 수 있는 바와 같이 1~2 μm 정도이다. 본 실험에서 만든 에멀젼은 1일 이내에는 에멀젼층의 분리없이 아주 안정한 형태를 보여주고 있었으며 그 점도는 회전축의 속도가 6 rpm에 해당되는 전단속도(shear rate) 하에서 450 cP의 값을 갖고 있었으며 전단속도에 따라 점도가 상당히 변화되기 때문에 non-Newtonian 유체임을 알 수 있었다.

### 3.2. 합성분체의 특성

#### 3.2.1. 복합금속염

에멀젼-가열석유 중발법에 의해서 얻은 복합금속염의 열처리 온도에 따른 상변화와 Al<sub>2</sub>O<sub>3</sub>-20 wt% ZrO<sub>2</sub> 복합분체합성을 위한 하소온도를 결정하기 위한 열분석결과가 Fig. 3에 나타나 있다. Fig. 3(a)와 (b)는 각각 출발 물질인 시약용 황산알루미늄(Al<sub>2</sub>(SO<sub>4</sub>)<sub>3</sub>·13~14H<sub>2</sub>O)과 옥시염화지르코늄(ZrOCl<sub>2</sub>·8H<sub>2</sub>O)에 대한 결과를 보여주는 것으로서 황산알루미늄은 3개의 흡열피크를 보여주고 있는데 113°C에서 구조수, 322°C에서 결정수 그리고 835°C에서 황산알루미늄의 분해가 일어나고 있으며 옥시염화지르코늄은 100°C에서 시작하여 대략 500°C까지 넓은 범위에서 구조수와 결정수 및 분해반응이 일어나고 있다. Fig. 3(c)와 (d)는 각각 에멀젼법으로 제조한 Al<sub>2</sub>O<sub>3</sub> 금속염과 Al<sub>2</sub>O<sub>3</sub>-20 wt% ZrO<sub>2</sub> 복합금속염에 대한 것으로 에멀젼법으로 제조한 경우는 입자가 작고 반응성이 좋기 때문에 순수한 황산알루미늄보다는 전체적으로 분해온도가 15~30°C 정도 낮음을 알 수 있다. 여기서 에멀젼법으로 만든 Al<sub>2</sub>O<sub>3</sub>의 경우에는 결정수에 의한 흡열피크가 295°C에서 나타나고 있는 반면에 Al<sub>2</sub>O<sub>3</sub>-20 wt% ZrO<sub>2</sub>의 경우에는 옥시염화지르코늄의 영향으로 결정수에 의한 흡열피크가 명확히 나타나고 있지 않은데 이는 현

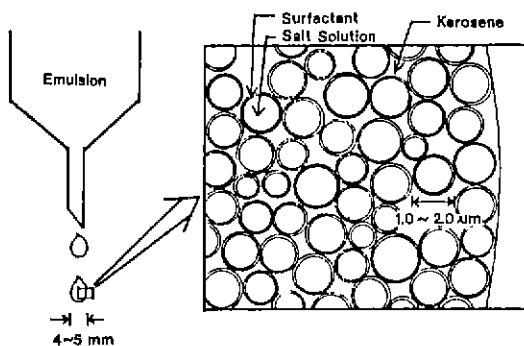


Fig. 1. Schematic diagram of emulsion droplets.

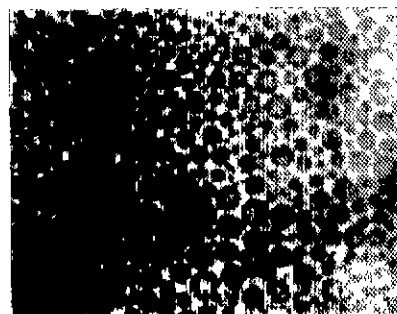


Fig. 2. Optical micrograph of an emulsion droplet.

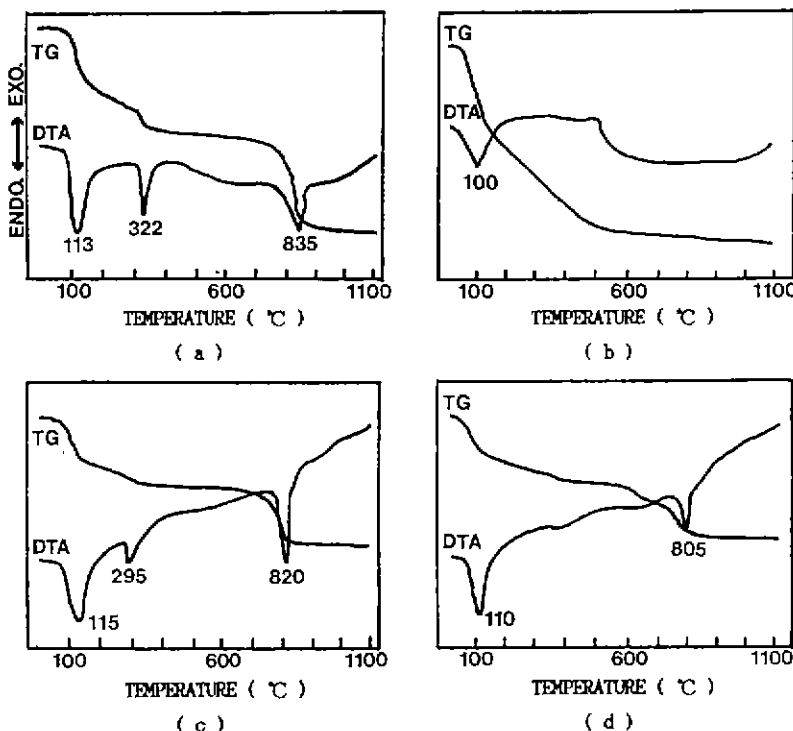


Fig. 3. DTA and TG curves of powders: (a)  $\text{Al}_2(\text{SO}_4)_3 \cdot 13\text{-}14\text{H}_2\text{O}$ , (b)  $\text{ZrOCl}_2 \cdot 8\text{H}_2\text{O}$ , (c)  $\text{Al}_2\text{O}_3$ , and (d)  $\text{Al}_2\text{O}_3\text{-}20\text{ wt\% ZrO}_2$  powders derived from the emulsion-hot kerosene drying method.

등<sup>9)</sup>이 설명한 “에멀젼법에서는 급증발 효과에 의해서 결정수 피크가 소멸된다”라는 해석과는 다른 결과였다.

이상과 같은 열분석 결과로부터 하소온도는 무게감소가 거의 일어나지 않는  $900^\circ\text{C}$  이상으로 정하였으며 또한 열처리 온도에 따른 복합금속염 및 복합분체의 상변화를 관찰하기 위하여 분쇄 전과 분쇄 후의 분말에 대해서 상온 X-ray 회절분석을 실시하였는데 그 결과는 Fig. 4에 나타냈다. 열분석결과와 마찬가지로  $800^\circ\text{C}$ 에서는 어느 정도 황산알루미늄의 분해가 일어나고 있으며  $900^\circ\text{C}$ 에서는 지르코니아와  $\gamma\text{-}\text{Al}_2\text{O}_3$ 가 보이고 있다. 복합분체내의 알루미나는 온도에 따라서  $\gamma \rightarrow \theta \rightarrow \alpha\text{-}\text{Al}_2\text{O}_3$ 로의 변화를 거치고 있으며 분쇄를 거치지 않은 경우는  $1200^\circ\text{C}$ 에서  $\alpha\text{-}\text{Al}_2\text{O}_3$ 과  $\text{t-ZrO}_2$ 만이 존재하고 있는 반면에 분쇄과정을 거친 후의 경우는  $\text{m-ZrO}_2$ 가 조금씩 X-ray 피크상에 나타나고 있는데 이는 분쇄로 인하여  $\text{Al}_2\text{O}_3$  매트릭스에 의한 흡력유기상전이가 일어났기 때문으로 생각된다. 전조한 복합금속염의 형상은 본 논문의 전편<sup>9)</sup>에서 이미 관찰하였는데 그 형상은 구형이며 크기는  $1\text{ }\mu\text{m}$  정도 이하로써 전체적으로 에멀젼 액적의 크기보다 작음을 알 수 있었는데 이는 에멀젼 액적이 증발과정에서 수축과

균열에 의하여 미세화된 결과라고 밝히고 있다.

### 3.2.2. $\text{Al}_2\text{O}_3\text{-}20\text{ wt\% ZrO}_2$ 복합분체

하소온도에 따른 입자형상변화를 비교하기 위하여 분쇄한 분체를 TEM으로 관찰한 결과가 Fig. 5에 주어져 있다.  $900^\circ\text{C}$ 로 하소한 분체는  $50\text{ nm}$  이하의 미세한 1차 입자들이 응집된 다공성 입자들로 이루어져 있으며 점차 하소온도가 높아짐에 따라서 결정화가 진행되어 다공성의 1차 입자들의 응집이 일어나면서 치밀한 입자가 생성되다가  $1200^\circ\text{C}$  [Fig. 5(e)]에서는 완전한  $\alpha\text{-}\text{Al}_2\text{O}_3$ 가 보이고 있다. 분체의 크기는 하소온도가 높아짐( $900^\circ\text{C} \rightarrow 1150^\circ\text{C}$ )에 따라서  $50\text{ nm}$  이하의 미세한 입자들이 줄어들고  $0.4\text{ }\mu\text{m}$  이상의 입자들이 생성되다가 하소온도가  $1200^\circ\text{C}$  일 때에는 치밀한 입자가 생성되지만 그 입자크기는 작아지는데 이는  $1150^\circ\text{C}$  까지 존재하던 점성이  $1200^\circ\text{C}$ 에서는 사라지기 때문에 다른 하소온도에 비해서  $1200^\circ\text{C}$ 에서는 분체가 아주 잘 되기 때문이다. Fig. 5(f)는  $1200^\circ\text{C}$ 에서 하소한 분체를 더 크게 확대(5만배)하여 관찰한 것으로 에멀젼법으로 만든 순수한  $\text{Al}_2\text{O}_3$  입자 [Fig. 5(g)]와의 차이점을 비교해 볼 때 조그만 입자들은 지르코니아 입자들일 것으로 추측된다. 이때의 비표면

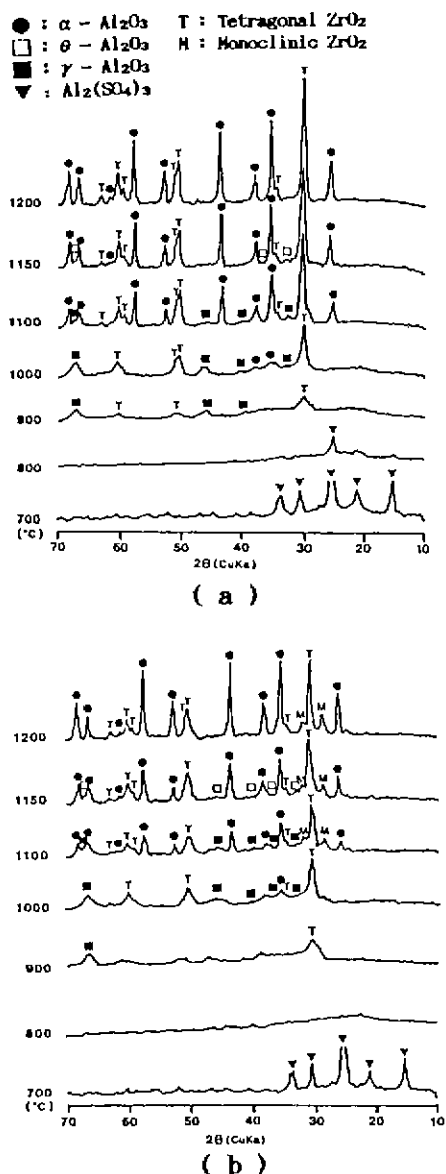


Fig. 4. XRD curves of Al<sub>2</sub>O<sub>3</sub>-20 wt% ZrO<sub>2</sub> powders calcined at various temperatures: (a) before crushing and (b) after crushing.

적의 변화는 하소온도가 900, 1000, 1100, 1150, 1200°C로 바뀜에 따라서 95, 67, 55, 32, 6 m<sup>2</sup>/g으로 각각 변화되었는데 이는 앞서의 TEM 사진의 결과에서도 알 수 있었듯이 다공성의 입자들이 사라지고 치밀한 입자가 생성됨을 간접적으로 입증하는 것이다.

Table 2는 하소온도에 따른 복합분체의 입자크기 및

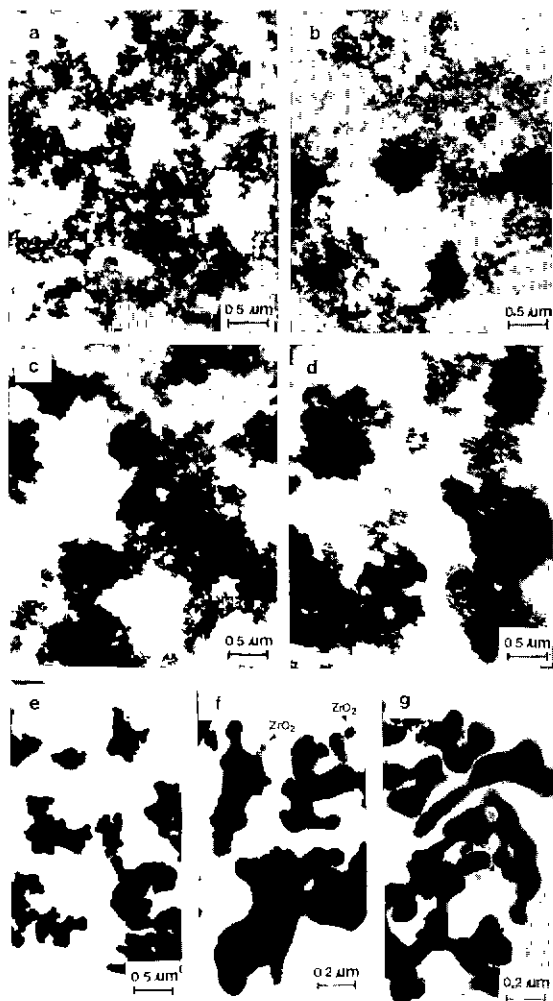
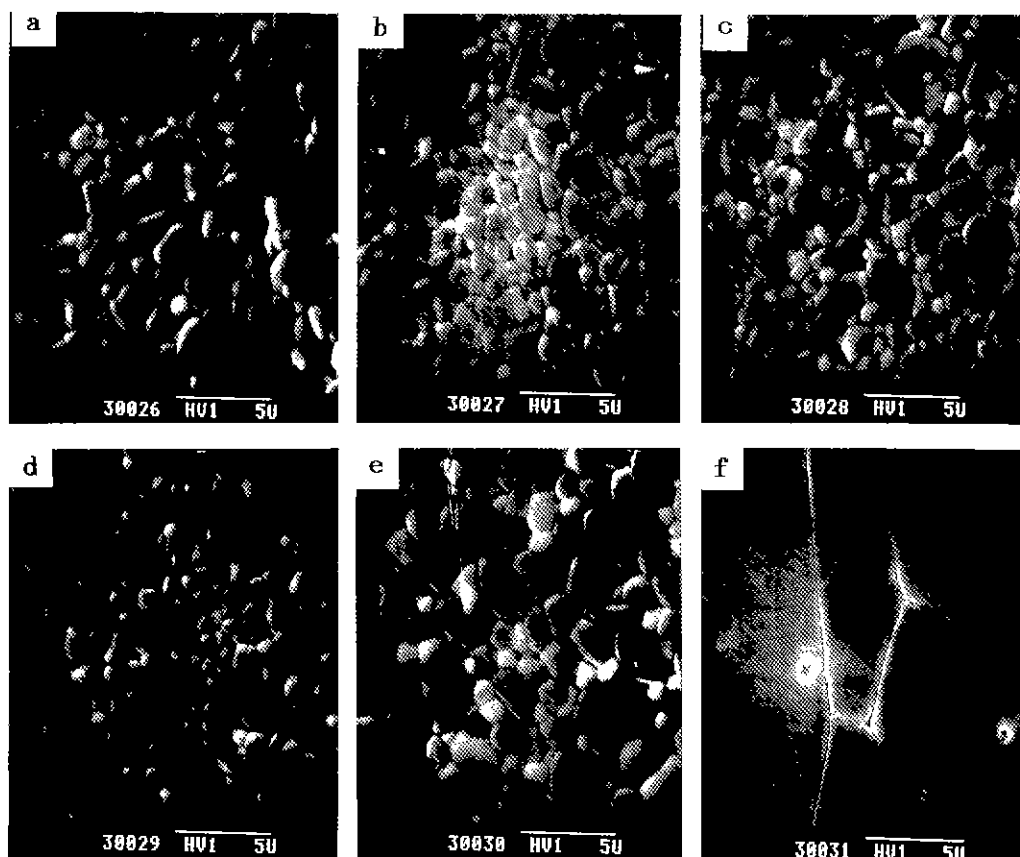


Fig. 5. TEM photographs of synthesized Al<sub>2</sub>O<sub>3</sub>-20 wt% ZrO<sub>2</sub> (a-f) and Al<sub>2</sub>O<sub>3</sub> (g) powders at each calcination temperatures: (a) 900°C, (b) 1000°C, (c) 1100°C, (d) 1150°C, (e) 1200°C ( $\times 20000$ ), (f) 1200°C ( $\times 50000$ ), and (g) 1200°C ( $\times 50000$ ).

성형밀도 분석결과를 보여주고 있는데 900°C와 1000°C 하소의 경우는 평균입자크기가 작기는 하지만 Fig. 5에서 알 수 있는 바와 같이 미세한 기공이 아주 많은 입자들이 뭉쳐있는 상태이기 때문에 성형밀도(green density)가 각각 1.52와 1.65 g/cm<sup>3</sup> 정도로 아주 낮은 값을 보여주고 있다. 반면에 하소온도가 1150°C까지 높아짐에 따라 입도분포범위가 점차 넓어지고 성형밀도도 1100°C와 1150°C 일 때 각각 1.92와 1.99 g/cm<sup>3</sup>(상대밀도=46.6%)로 높게 나타났으며 하소온도가 1200°C 일 때에는 분쇄가 잘 됐기 때문에 입자크기 분포가 0.09~2.24 μm로 좁아

**Table 2.** Particle Size Distribution and Green Density of  $\text{Al}_2\text{O}_3$ -20 wt%  $\text{ZrO}_2$  Powders at Calcination Temperatures.

Calcination Temperature	Particle Size Range ( $\mu\text{m}$ )	Average Particle Size ( $\mu\text{m}$ )	Green Density ( $\text{g}/\text{cm}^3$ )
900°C	0.20~0.66	0.35	1.52
1000°C	0.04~3.14	0.36	1.65
1100°C	0.13~3.18	0.61	1.92
1150°C	0.03~7.39	0.43	1.99
1200°C	0.09~2.24	0.44	1.90

**Fig. 6.** SEM photographs of  $\text{Al}_2\text{O}_3$ -20 wt%  $\text{ZrO}_2$  composites (a~e) and  $\text{Al}_2\text{O}_3$  (f) sintered at 1650°C for 4 hrs: calcined at (a) 900°C, (b) 1000°C, (c) 1100°C, (d) 1150°C, (e) 1200°C, and (f) 1200°C for 2 hrs.

졌는데, 본 실험에서는 성형조제를 사용하지 않았기 때문에 1200°C에서 하소한 경우에는 점성이 떨어져 다른 하소온도에 비해서는 성형이 떨어지므로 성형밀도가 1.90  $\text{g}/\text{cm}^3$ 로 낮아졌다.

### 3.3. 복합체의 소결 및 물성

본 실험에서 제조한 복합분체의 소결성을 규명하기

위하여 각 하소온도에서 하소한 후 분쇄과정을 거쳐 성형하여 1650°C에서 4시간 동안 소결한 소결체에 대해서 상온에서의 SEM 사진(Fig. 6)을 관찰하였다. 초기 하소온도가 최종소결체의 미세구조에 미치는 영향에 대한 결과는 하소온도가 900~1150°C 일 때[Fig. 6(a)-(d)] 까지는 그 미세구조상에 큰 차이가 없다가 하소온도가 1200°C 일 때[Fig. 6(e)]에는 다소 입자들이 성장했음을

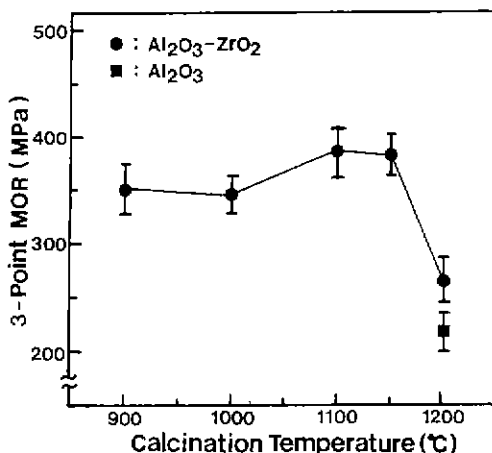


Fig. 7. Flexural strength of Al<sub>2</sub>O<sub>3</sub>-20 wt% ZrO<sub>2</sub> composites and Al<sub>2</sub>O<sub>3</sub> sintered at 1650°C for 4 hrs plotted against calcination temperature.

알 수 있다. 또한 Al<sub>2</sub>O<sub>3</sub>와 Al<sub>2</sub>O<sub>3</sub>-20 wt% ZrO<sub>2</sub>의 입자성장 정도를 비교해 보면 Al<sub>2</sub>O<sub>3</sub>-20 wt% ZrO<sub>2</sub> 복합소결체는 ZrO<sub>2</sub>에 의해서 Al<sub>2</sub>O<sub>3</sub>의 입성장이 상당히 억제되고 있는 반면에 Al<sub>2</sub>O<sub>3</sub>는 소결체의 경우 입자성장이 억제되지 않고 이상 입성장(abnormal grain growth)이 일어나 그 입자크기가 상당히 커져있음을 관찰할 수 있었다.

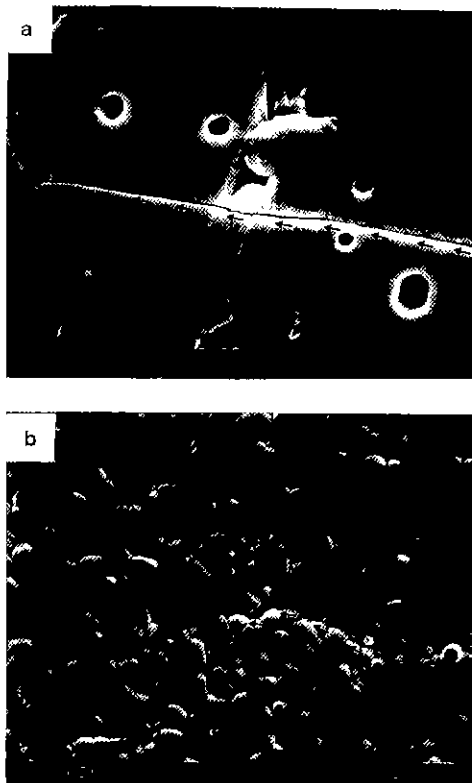
Table 3은 각 소결체의 절보기 밀도, 상대밀도, 단사정/정방정 지르코니아의 비, 경도 및 K<sub>IC</sub>값을 측정·관찰한 것으로서 ZrO<sub>2</sub>에 대하여 mono:tetra의 비를 살펴보면 900°C에서 하소한 경우를 제외하고 하소온도가 높아짐에 따라 정방정 지르코니아의 양이 점차로 줄어들고 있는데 이는 하소온도가 높아져서 입자크기가 커짐으로 인하여 정방정→단사정으로의 전이가 일어나기 때문이다. 하소온도가 900°C일 때는 최종소결체의 입자크기는 작지만 소결밀도가 낮고 기공이 많이 분포하고

있기 때문에 매트릭스에 의한 상전이 억제 효과가 김소하므로 복합소결체내에 존재하는 정방정 지르코니아의 양이 그렇게 많지가 않았다. 에멀젼법으로 제조한 순수한 Al<sub>2</sub>O<sub>3</sub>보다는 동일한 방법으로 제조한 Al<sub>2</sub>O<sub>3</sub>-ZrO<sub>2</sub> 복합소결체의 경도와 K<sub>IC</sub>값이 높았는데 이미 보고된 바와 같이 ZrO<sub>2</sub>에 의한 인성증진과 물성증진 효과 및 Al<sub>2</sub>O<sub>3</sub>에 대한 입성장 억제에 의한 것이라 할 수 있다. 1200°C에서 하소했을 때는 다른 하소온도와 비교해 볼 때 복합체의 K<sub>IC</sub>값이 상당히 높았는데 이는 이미 존재해 있는 microcrack의 영향과 하중을 가했을 때 일어나는 m→t-ZrO<sub>2</sub>로의 전이효과가 가장 크기 때문으로 해석할 수 있겠으나 소결체내에 존재하는 t-ZrO<sub>2</sub>의 양이 13% 정도로 아주 낮기 때문에 주된 인성증진기구는 microcrack에 의한 것이라 하겠다. 일반적으로 microcrack이 많이 존재하는 세라믹스는 K<sub>IC</sub>값은 좋지만 강도값이 떨어진다<sup>11)</sup>는 사실은 Fig. 7의 꺾임강도 측정결과 1200°C에서 하소한 후 소결한 소결체의 강도값이 가장 낮은 것을 잘 입증해주고 있다.

소결체에 대한 3점 꺾임강도를 측정한 결과가 Fig. 7에 주어져 있는데 1100°C에서 하소한 후 소결했을 때 가장 높은 강도값(=390 MPa)을 나타냈는데 이는 Table 3에서도 알 수 있듯이 소결밀도값 등이 우수하기 때문으로 생각된다. 그리고 하소온도가 1200°C인 복합소결체는 강도값이 크게 떨어지고 있는데 이는 Nils Claussen<sup>14)</sup> 등이 입증한 것처럼 입자크기가 커지면 강도가 감소한다는 해석(Fig. 6의 SEM 사진에서 알 수 있듯이 ZrO<sub>2</sub>의 입자성장이 진행되어 그 입자크기가 상당히 커졌다)이나 아니면 앞에서도 설명했듯이 microcrack이 많이 존재하는 세라믹스는 K<sub>IC</sub>값은 좋지만 강도값이 떨어진다<sup>11)</sup>라는 해석을 할 수 있다. 이미 발표된 물성값<sup>15)</sup>(Hardness=17.3 GPa, K<sub>IC</sub>=5.71 MN/m<sup>3/2</sup>, X<sub>t</sub>=50%)들과 비교해 볼 때 다소 떨어지기는 하지만 위의 물성값들은 Hot

Table 3. Physical and Mechanical Properties of Al<sub>2</sub>O<sub>3</sub>-ZrO<sub>2</sub> Composites and Al<sub>2</sub>O<sub>3</sub> Sintered at 1650°C for 4 hrs.

Material	Calcination Temperature (°C)	Bulk Density (g/cm <sup>3</sup> )	Relative Density (%)	ZrO <sub>2</sub> Mono-/Tetra-	Open Pore (%)	Closed Pore (%)	Hardness (GPa)	K <sub>IC</sub> Value (MN/m <sup>3/2</sup> )
Al <sub>2</sub> O <sub>3</sub> -20 wt% ZrO <sub>2</sub>	900	4.041	95.4	72.6/27.4	3.9	0.7	14.5	4.89
	1000	4.147	97.8	64.7/35.3	1.3	0.9	14.9	5.58
	1100	4.194	99.0	69.5/30.5	0.4	0.6	15.7	4.97
	1150	4.148	98.0	77.8/22.2	1.4	0.6	14.8	5.10
	1200	4.145	98.0	86.5/13.5	1.5	0.5	11.1	7.09
Al <sub>2</sub> O <sub>3</sub>	1200	3.869	97.2	—	0.1	2.7	13.2	4.45



**Fig. 8.** SEM photographs of (a)  $\text{Al}_2\text{O}_3$  and (b)  $\text{Al}_2\text{O}_3$ -20 wt%  $\text{ZrO}_2$  composites sintered at  $1650^\circ\text{C}$  for 4 hrs: (a) calcined at  $1200^\circ\text{C}$  for 2 hrs and (b) calcined at  $1000^\circ\text{C}$  for 2 hrs.

Pressing에 의해서 얻은 값들임을 고려해 본다면 비교적 만족할만한 결과라고 할 수 있다.

Fig. 8은 Vickers hardness indenter로  $K_{IC}$ 값을 측정한 후 균열의 진행경로를 SEM으로 관찰한 것으로 Fig. 8(a)는  $\text{Al}_2\text{O}_3$ 에 대한 그림으로 알루미나는 균열이 계면을 따라서 진행되기는 거리가 너무 멀기 때문에 가까운 길인 입자의 내부를 통과하고 있는 반면에  $\text{Al}_2\text{O}_3$ - $\text{ZrO}_2$ 는 입자크기가 작을 뿐만 아니라 기지물질인 알루미나와 분산상인 지르코니아 입자간에 elastic modulus와 열팽창계수가 다르기 때문에 스트레인의 차가 발생하여 균열이 편향되므로<sup>16)</sup> 계면을 따라서 균열이 진행된다고 할 수 있으며  $K_{IC}$  증진 기구는  $t\text{-}\text{ZrO}_2 \rightarrow m\text{-}\text{ZrO}_2$ 의 전이에 의한 것과 이미 존재하고 있는 microcrack에 의한 균열 전파에너지의 흡수 및 균열의 편향이라고 생각할 수 있다. 이를 그림에서 s는 균열의 전파가 끝나는 지점이다. Fig. 9는  $1100^\circ\text{C}$ 에서 하소한 후  $1650^\circ\text{C}$ 에서 4시간 소결한  $\text{Al}_2\text{O}_3$ -20 wt%  $\text{ZrO}_2$  소결체의 파단면 SEM 사진으로, Fig.



**Fig. 9.** SEM photograph showing the intergranular fracture of the  $\text{Al}_2\text{O}_3$ -20 wt%  $\text{ZrO}_2$  composite sintered at  $1650^\circ\text{C}$  for 4 hrs.

8의  $K_{IC}$  결과를 종합해본다면 본 실험범위내에서는 입계파괴만이 일어남을 알 수 있었다.

이상의 결과로부터 미세구조, 밀도값, 정방정  $\text{ZrO}_2$ 의 존재량, 기공율, 경도,  $K_{IC}$ 값 및 M.O.R.값을 전체적으로 비교했을 때  $1100^\circ\text{C}$ 에서 하소한 후 분쇄과정을 거쳐 소결한 복합체의 경우에 가장 우수한 소결특성 및 물성값을 보여주었으며 애밀전-가열석유 증발법은  $\text{Al}_2\text{O}_3$ - $\text{ZrO}_2$  복합체의 제조에 효율적임을 알 수 있었다.

#### 4. 결 론

애밀전-가열석유 증발법을 이용한  $\text{Al}_2\text{O}_3$ -20 wt%  $\text{ZrO}_2$  복합체의 제조에 있어서 애밀전 액적의 크기는 1~2  $\mu\text{m}$  정도였으며 1일 이내에는 애밀전층의 분리없이 아주 안정한 형태를 보여주었다.  $900^\circ\text{C}$ 에서 하소한 후 분쇄한 입자가 제일 작고 좁은 입도분포를 나타내기는 했지만 다공성의 비정질상태이기 때문에  $1650^\circ\text{C}$ 에서 4시간 소결했을 때 기공이 많이 존재했으며 상대밀도값은 본 실험범위내에서는 가장 낮은 95%였다. 반면에  $1100^\circ\text{C}$ 에서 하소한 후 분쇄했을 때는  $\gamma\text{-}\text{Al}_2\text{O}_3$ ,  $\alpha\text{-}\text{Al}_2\text{O}_3$ ,  $t\text{-}\text{ZrO}_2$  및  $m\text{-}\text{ZrO}_2$ 가 혼재해 있는 분체였으며 최종적으로  $1650^\circ\text{C}$ 에서 4시간 동안 소결했을 때 가장 우수한 소결특성 (상대밀도=99%, 경도=15.7 GPa,  $K_{IC}=4.97 \text{ MN/m}^{3/2}$ ,

휨임강도=390 MPa)을 보여주었다. 복합 소결체내에 존재하는 t-ZrO<sub>2</sub>의 존재량의 비는 13~36% 정도였으며 소결체의 파괴메커니즘은 입체파괴였다.

### 감사의 글

본 연구는 1992년도 연세대학교 학술연구비에 의하여 수행되었으며 이에 감사의 뜻을 표합니다.

### REFERENCES

- N. Claussen, "Fracture Toughness of Al<sub>2</sub>O<sub>3</sub> with an Unstabilized ZrO<sub>2</sub> Dispersed Phase," *J. Am. Ceram. Soc.*, **59**(1-2), 49-51 (1976).
- A.V. Virkar, J.L. Huang and R.A. Cutler, "Strengthening of Oxide Ceramics by Transformation-Induced Stresses," *J. Am. Ceram. Soc.*, **70**(3), 164-170 (1987).
- W.R. Cannon, "Transformation Toughened Ceramics for Structural Applications," *Treatise on Mater. Sci. and Technology*, Vol. 29, 195-228 (1989).
- N. Claussen, "Strengthening Strategies for ZrO<sub>2</sub>-Toughened Ceramics at High Temperatures," *Mater. Sci. Eng.*, **71**, 23-38 (1985).
- J. Wang and R. Stevens, "Review: Zirconia-Toughened Alumina (ZTA) Ceramics," *J. Mater. Sci.*, **24**, 3421-3440 (1989).
- M. Ruhle and N. Claussen, "Transformation and Microrack Toughening as Complementary Processes in ZrO<sub>2</sub>-Toughened Al<sub>2</sub>O<sub>3</sub>," *J. Am. Ceram. Soc.*, **69**(3), 195-197 (1986).
- T. Kosmac, M.V. Swain and N. Claussen, "The Role of Tetragonal and Monoclinic ZrO<sub>2</sub> Particles in the Fracture Toughness of Al<sub>2</sub>O<sub>3</sub>-ZrO<sub>2</sub> Composites," *Mater. Sci. and Eng.*, **71**, 57-64 (1985).
- P. Reynen, H. Bastius and M. Fiedler, "Use of Emulsion in the Preparation of Ceramic Powders," in *Ceramic Powder*, Edited by P. Vincenzini (Elsevier, Amsterdam), pp. 499-504, 1983.
- S.H. Hyun and J.G. Paik, "Preparation of Al<sub>2</sub>O<sub>3</sub>-ZrO<sub>2</sub> Composite Powders by the Use of Emulsions: II. Emulsion Hot-Kerosene Method," *J. Korean. Ceramic Society*, **25**(3), 284-292 (1988).
- R.L. Coble, "Sintering Crystalline Solids, II," *J. Appl. Phys.*, **32**(5), 793-799 (1961).
- R.C. Garvie, R.H. Hannink and R.T. Pascoe, "Ceramic Steel?," *Nature*, **258**(5537), 703-704 (1975).
- R.C. Garvie and P.S. Nicholson, "Phase Analysis in Zirconia Systems," *J. Am. Ceram. Soc.*, **55**(6), 303-305 (1972).
- A.G. Evans and E.A. Charles, "Fracture Toughness Determination by Indentation," *J. Am. Ceram. Soc.*, **59**(7-8), 371-372 (1976).
- N. Claussen, J. Steeb and R.F. Barst, "Effect of Induced Microcracking on the Fracture Toughness of Ceramics," *Ceram. Bull.*, **56**(6), 559-562 (1977).
- F.F. Lange, "Transformation Toughening I-V," *J. Mater. Sci.*, **17**(1), 225-263 (1982).
- K.T. Faber, A.G. Evans and M.D. Drory, "A Statistical Analysis of Crack Deflection as a Toughening Mechanism in Ceramic Materials," pp. 77-91 in *Fracture Mechanics of Ceramics*, edited by R.C. Bradt et al., Vol. 6, 1974.